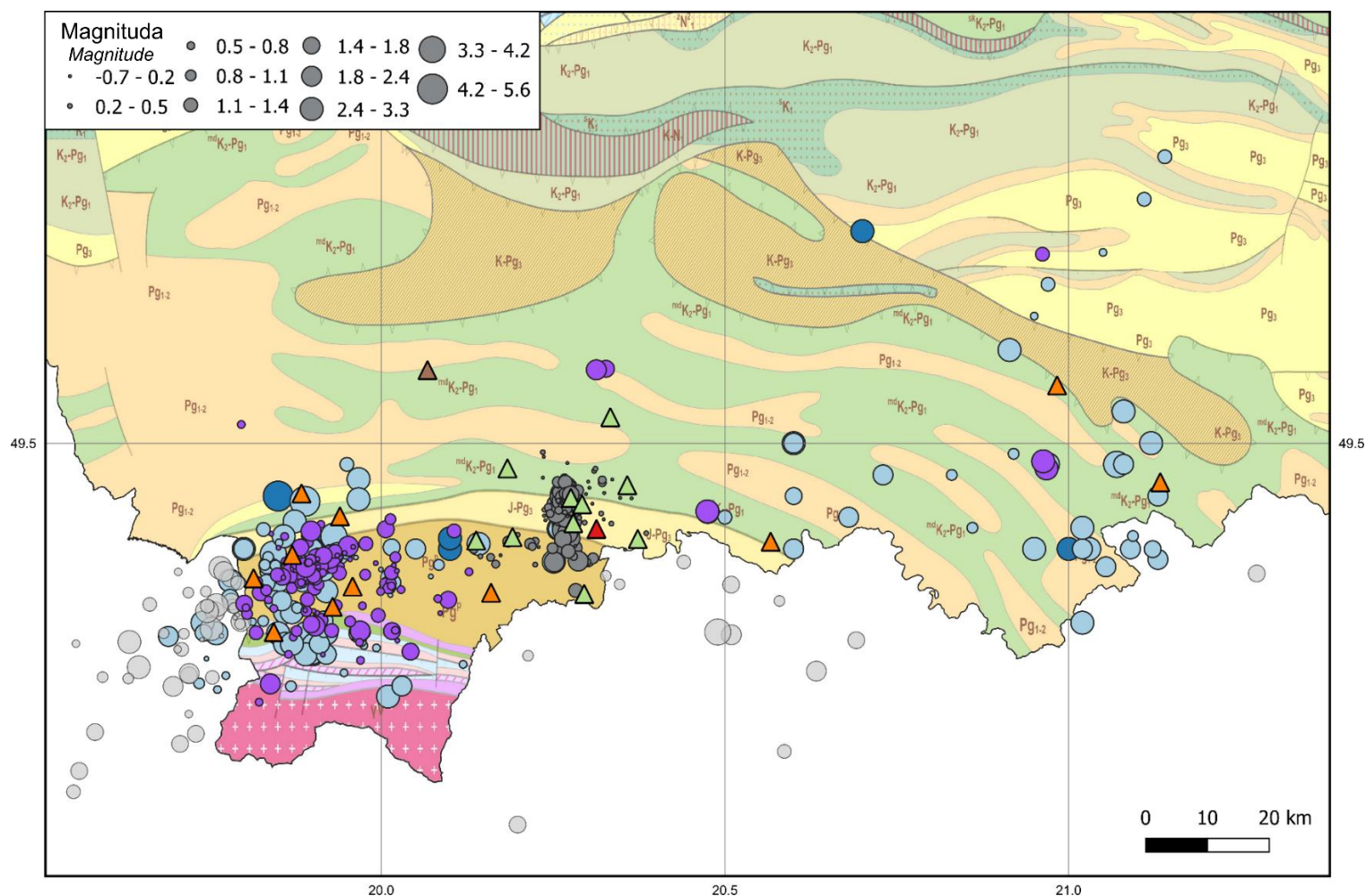


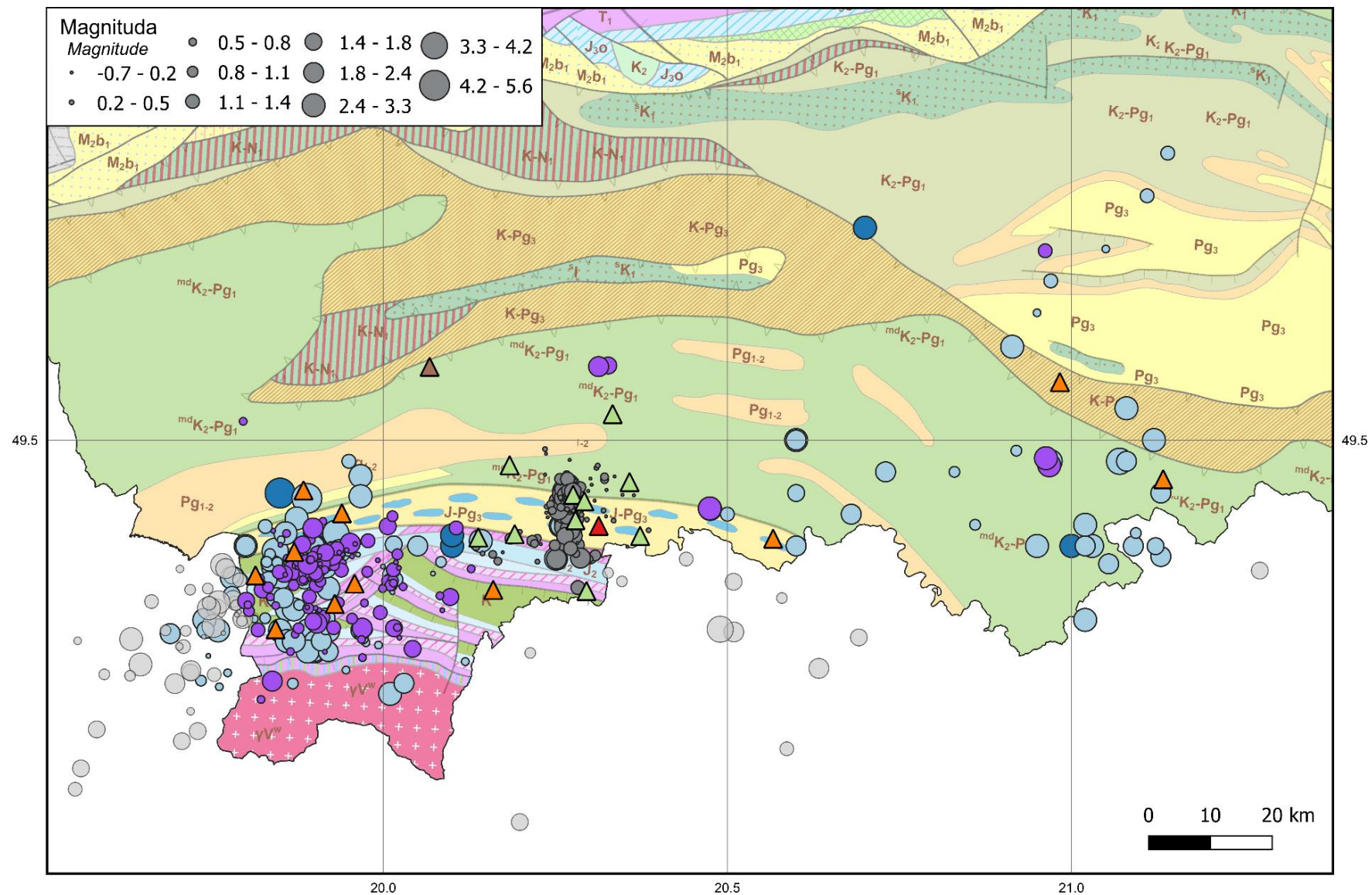
Załącznik 4. Lokalizacja wstrząsów zarejestrowanych w ramach projektu MGP na tle map geologicznych na poziomach ścięcia 1–5 km, sporządzonych na podstawie Atlasu Geologicznego Polski 1:750 000 (Kotański i in., 1997; <https://baza.pgi.gov.pl/geoportalu/uslugi/gis>).

Appendix 4. *Tectonic earthquakes recorded during implementation of GMP project against the background of horizontal section geological maps at the levels of 1–5 km b.s.l., prepared based on the Geological Atlas of Poland 1:750 000 (Kotański et al., 1997; <https://baza.pgi.gov.pl/geoportalu/uslugi/gis>).*



Ryc. S1. Lokalizacja wstrząsów sejsmicznych pochodzenia tektonicznego zarejestrowanych w latach 2013–2023 w ramach projektu MGP (fioletowe punkty, Załącznik 1) na tle mapy geologicznej na poziomie ścięcia 1000 m p.p.m., sporządzonej na podstawie Atlasu Geologicznego Polski 1:750 000 (Kotański i in., 1997). Pomarańczowymi trójkątami oznaczono stacje mobilne Lennartz należące do sieci PSG_Sejs_NET, natomiast zielonymi trójkątami stacje sieci SENTINELS. Pozostałe oznaczenia jak na ryc. 3 w treści artykułu.

Fig. S1. Tectonic earthquakes recorded in 2013–2023 during implementation of GMP project (purple circles, Appendix 1) against the background of horizontal section geological map at the level of 1000 m b.s.l., prepared based on the Geological Atlas of Poland 1:750 000 (Kotański et al., 1997). Orange triangles represent mobile Lennartz stations of PSG_Sejs_NET network. Green triangles denote stations of SENTINELS network. The remaining symbols are as described in Figure 3 in the text of the article.



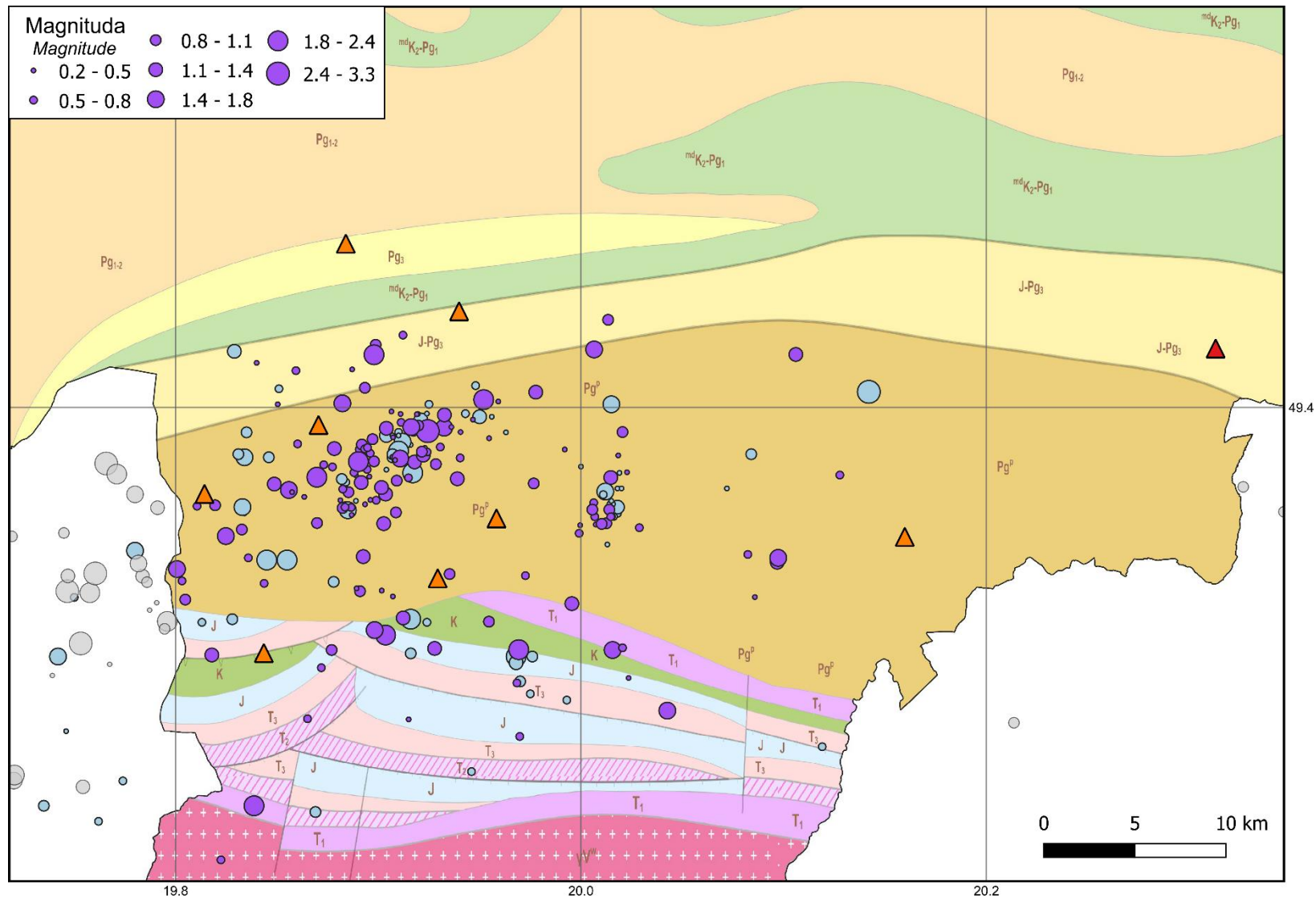
Ryc. S2. Lokalizacja wstrząsów sejsmicznych pochodzenia tektonicznego zarejestrowanych w latach 2013–2023 w ramach projektu MGP (fioletowe punkty, Załącznik 1) na tle mapy geologicznej na poziomie ścienia 2000 m p.p.m., sporządzonej na podstawie Atlasu Geologicznego Polski 1:750 000 (Kotański i in., 1997). Pomarańczowymi trójkątami oznaczono stacje mobilne Lennartz należące do sieci PSG_Sejs_NET, natomiast zielonymi trójkątami stacje sieci SENTINELS. Pozostałe oznaczenia jak na ryc. 3 w treści artykułu.

Fig. S2. Tectonic earthquakes recorded in 2013–2023 during implementation of GMP project (purple circles, Appendix 1) against the background of horizontal section geological map at the level of 2000 m b.s.l., prepared based on the Geological Atlas of Poland 1:750 000 (Kotański et al., 1997). Orange triangles represent mobile Lennartz stations of PSG_Sejs_NET network. Green triangles denote stations of SENTINELS network. The remaining symbols are as described in Figure 3 in the text of the article.



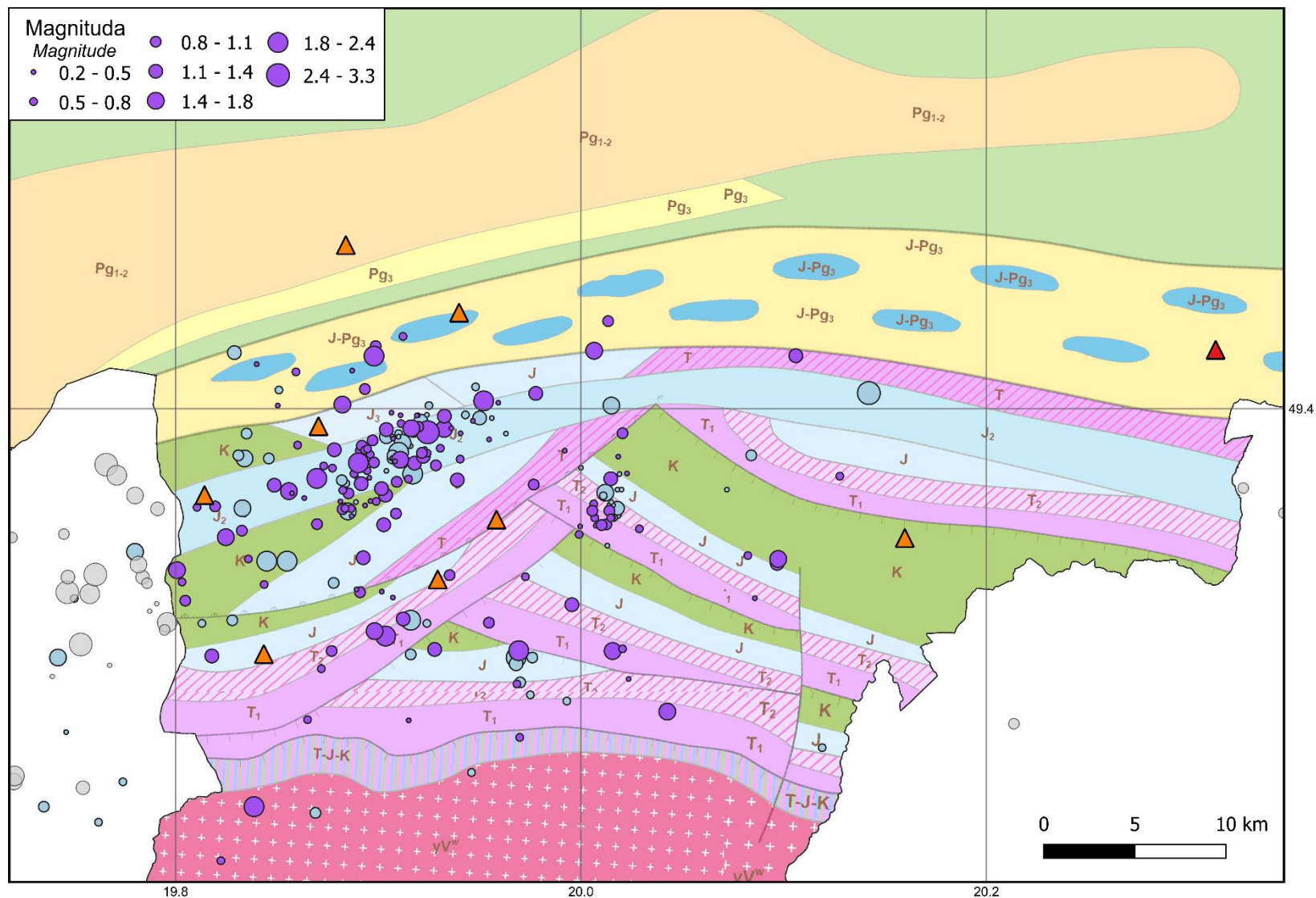
Ryc. S5. Lokalizacja wstrząsów sejsmicznych pochodzenia tektonicznego zarejestrowanych w latach 2013–2023 w ramach projektu MGP (fioletowe punkty, Załącznik 1) na tle mapy geologicznej na poziomie ścienia 5000 m p.p.m., sporządzonej na podstawie Atlasu Geologicznego Polski 1:750 000 (Kotarski i in., 1997). Pomarańczowymi trójkątami oznaczono stacje mobilne Lennartz należące do sieci PSG_Sejs_NET, natomiast zielonymi trójkątami stacje sieci SENTINELS. Pozostałe oznaczenia jak na ryc. 3 w treści artykułu.

Fig. S5. Tectonic earthquakes recorded in 2013–2023 during implementation of GMP project (purple circles, Appendix 1) against the background of horizontal section geological map at the level of 5000 m b.s.l., prepared based on the Geological Atlas of Poland 1:750 000 (Kotarski et al., 1997). Orange triangles represent mobile Lennartz stations of PSG_Sejs_NET network. Green triangles denote stations of SENTINELS network. The remaining symbols are as described in Figure 3 in the text of the article.



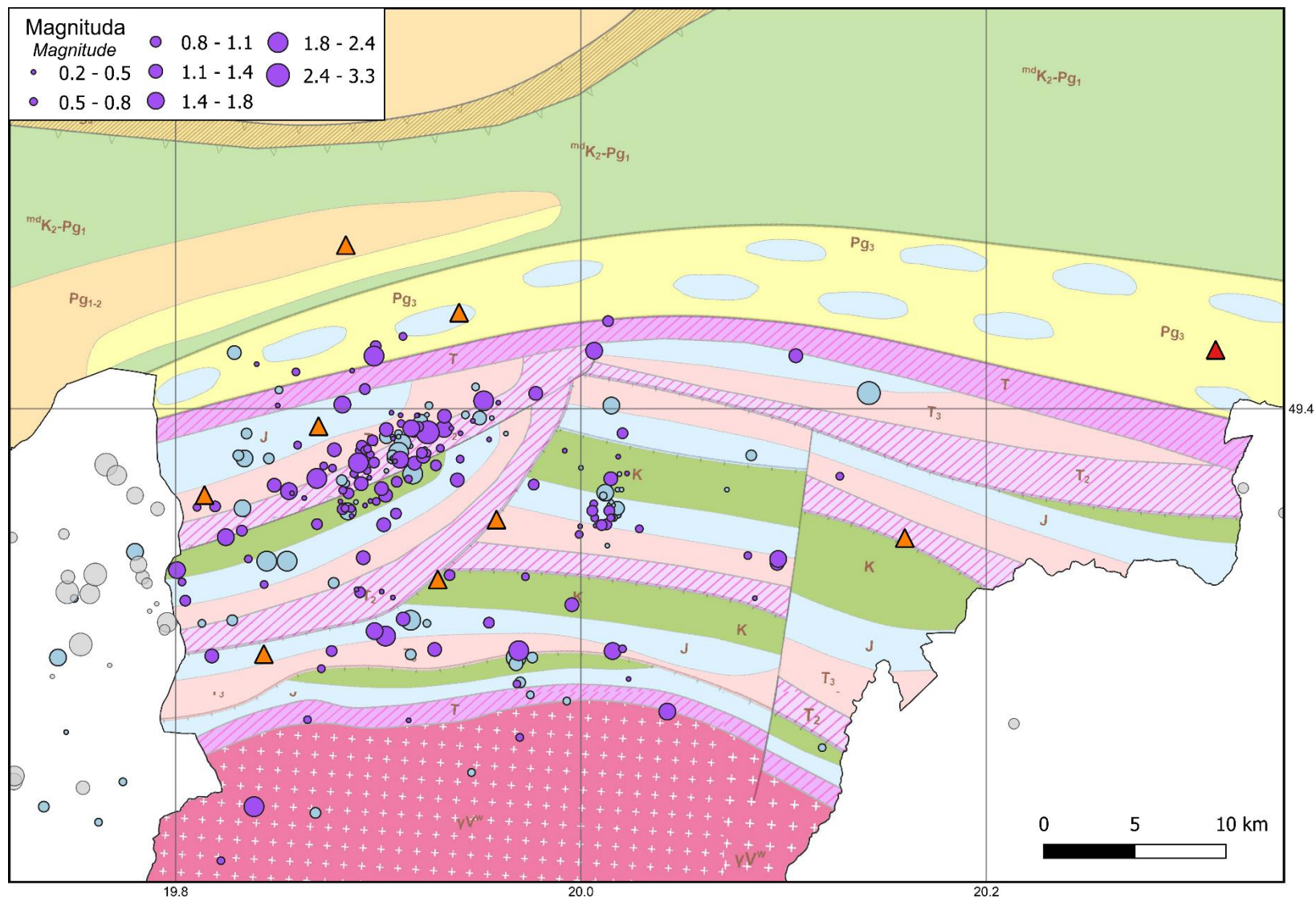
Ryc. S6. Lokalizacja wstrząsów zarejestrowanych na terenie Podhala w okresach 2008–2012 (jasnoniebieskie punkty) oraz 2013–2023 (fioletowe punkty) na tle mapy geologicznej na poziomie ścienia 1000 m p.p.m. sporządzonej na podstawie Atlasu Geologicznego Polski 1:750 000 (Kotański i in., 1997). Pomarańczowymi trójkątami oznaczono stacje mobilne Lennartz należące do sieci PSG_Sejs_NET. Pozostałe oznaczenia jak na ryc. 5 w treści artykułu.

Fig. S6. Earthquakes recorded in Podhale region in the periods 2008–2012 (light blue circles) and 2013–2023 (purple circles) against the background of horizontal section geological map at the level of 1000 m b.s.l., prepared based on the Geological Atlas of Poland 1:750 000 (Kotański et al., 1997). Orange triangles represent mobile Lennartz stations of PSG_Sejs_NET network. The remaining symbols are as described in Figure 5 in the text of the article.



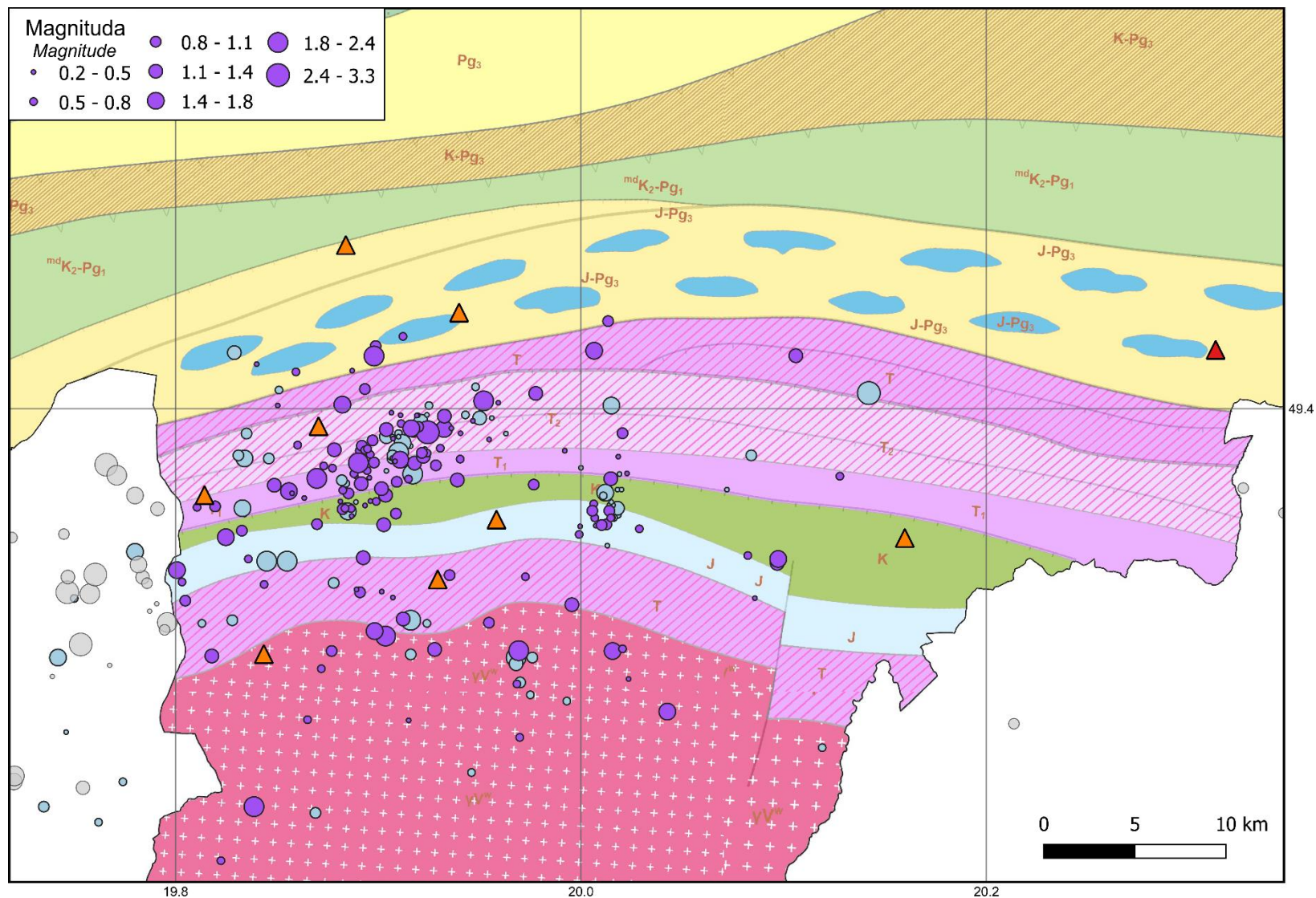
Rys. S7. Lokalizacja wstrząsów zarejestrowanych na terenie Podhala w okresach 2008–2012 (jasnoniebieskie punkty) oraz 2013–2023 (fioletowe punkty) na tle mapy geologicznej na poziomie ścienia 2000 m p.p.m. sporządzonej na podstawie Atlasu Geologicznego Polski 1:750 000 (Kotański i in., 1997). Pomarańczowymi trójkątami oznaczono stacje mobilne Lennartz należące do sieci PSG_Sejs_NET. Pozostałe oznaczenia jak na ryc. 5 w treści artykułu.

Fig. S7. Earthquakes recorded in Podhale region in the periods 2008–2012 (light blue circles) and 2013–2023 (purple circles) against the background of horizontal section geological map at the level of 2000 m b.s.l., prepared based on the Geological Atlas of Poland 1:750 000 (Kotański et al., 1997). Orange triangles represent mobile Lennartz stations of PSG_Sejs_NET network. The remaining symbols are as described in Figure 5 in the text of the article.



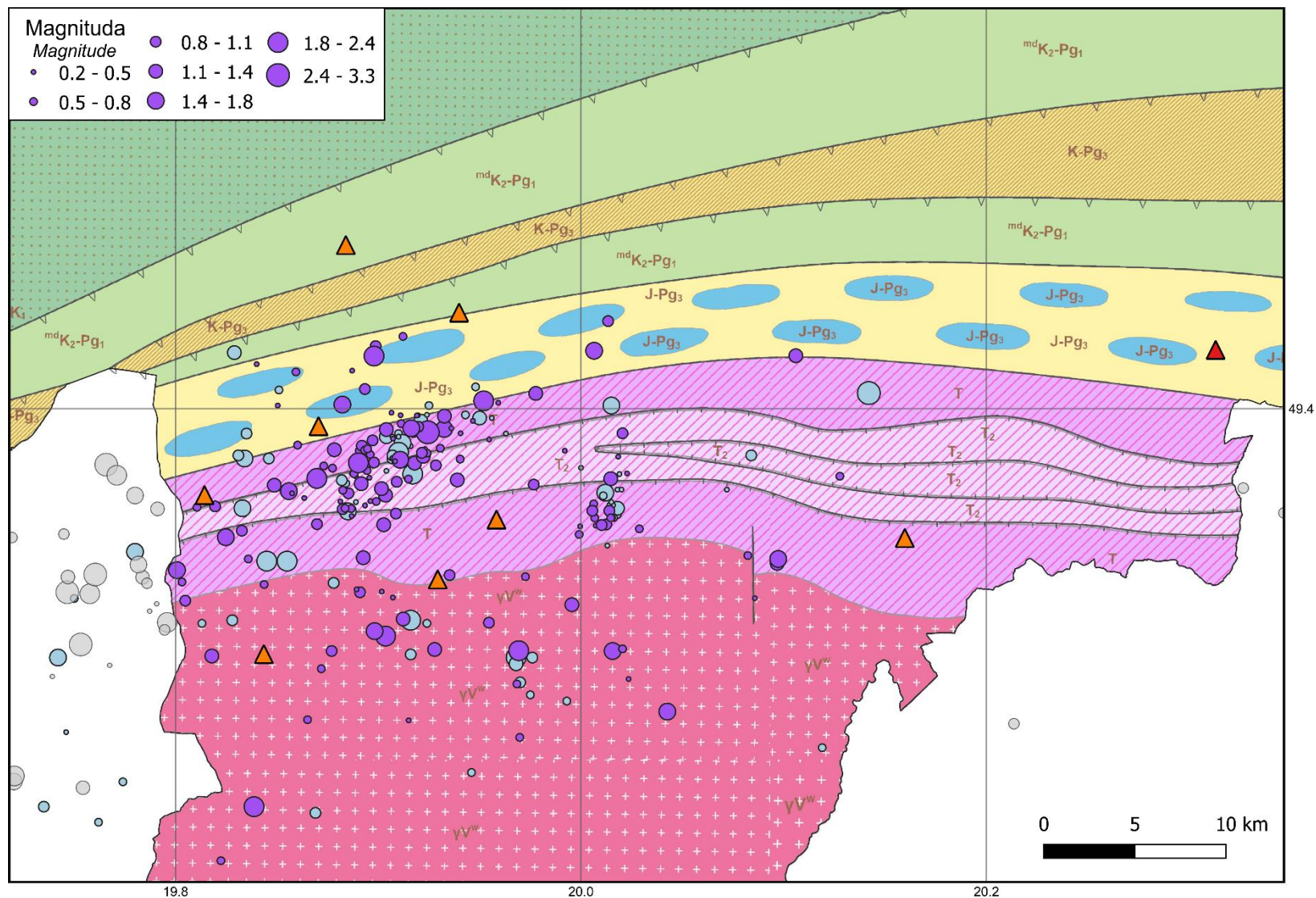
Ryc. S8. Lokalizacja wstrząsów zarejestrowanych na terenie Podhala w okresach 2008–2012 (jasnoniebieskie punkty) oraz 2013–2023 (fioletowe punkty) na tle mapy geologicznej na poziomie ścięcia 3000 m p.p.m. sporządzonej na podstawie Atlasu Geologicznego Polski 1:750 000 (Kotański i in., 1997). Pomarańczowymi trójkątami oznaczono stacje mobilne Lennartz należące do sieci PSG_Sejs_NET. Pozostałe oznaczenia jak na ryc. 5 w treści artykułu.

Fig. S8. Earthquakes recorded in Podhale region in the periods 2008–2012 (light blue circles) and 2013–2023 (purple circles) against the background of horizontal section geological map at the level of 3000 m b.s.l., prepared based on the Geological Atlas of Poland 1:750 000 (Kotański et al., 1997). Orange triangles represent mobile Lennartz stations of PSG_Sejs_NET network. The remaining symbols are as described in Figure 5 in the text of the article.



Ryc. S9. Lokalizacja wstrząsów zarejestrowanych na terenie Podhala w okresach 2008–2012 (jasnoniebieskie punkty) oraz 2013–2023 (fioletowe punkty) na tle mapy geologicznej na poziomie ścicia 4000 m p.p.m. sporządzonej na podstawie Atlasu Geologicznego Polski 1:750 000 (Kotański i in., 1997). Pomarańczowymi trójkątami oznaczono stacje mobilne Lennartz należące do sieci PSG_Sejs_NET. Pozostałe oznaczenia jak na ryc. 5 w treści artykułu.

Fig. S9. Earthquakes recorded in Podhale region in the periods 2008–2012 (light blue circles) and 2013–2023 (purple circles) against the background of horizontal section geological map at the level of 4000 m b.s.l., prepared based on the Geological Atlas of Poland 1:750 000 (Kotański et al., 1997). Orange triangles represent mobile Lennartz stations of PSG_Sejs_NET network. The remaining symbols are as described in Figure 5 in the text of the article.



Ryc. S10. Lokalizacja wstrząsów zarejestrowanych na terenie Podhala w okresach 2008–2012 (jasnoniebieskie punkty) oraz 2013–2023 (fioletowe punkty) na tle mapy geologicznej na poziomie ścienia 5000 m p.p.m. sporządzonej na podstawie Atlasu Geologicznego Polski 1:750 000 (Kotański i in., 1997). Pomarańczowymi trójkątami oznaczono stacje mobilne Lennartz należące do sieci PSG_Sejs_NET. Pozostałe oznaczenia jak na ryc. 5 w treści artykułu.

Fig. S10. Earthquakes recorded in Podhale region in the periods 2008–2012 (light blue circles) and 2013–2023 (purple circles) against the background of horizontal section geological map at the level of 5000 m b.s.l., prepared based on the Geological Atlas of Poland 1:750 000 (Kotański et al., 1997). Orange triangles represent mobile Lennartz stations of PSG_Sejs_NET network. The remaining symbols are as described in Figure 5 in the text of the article.